

東京工業大学 正員 中山 正子  
〃 〃 江戸 敏次郎

1. はじめに 活性汚泥による基質の除去・蓄積・代謝は、培養方法と回分法にするか、連続法にするかによつて異なることがこれまでの研究で報告されてゐる。この差は、汚泥の沈降性などにも影響を与えることが知られてゐる。本研究では、活性汚泥の培養方法を 回分法 → 連続法(完全混合) → 回分法 と順次変化させた場合汚泥の性状はどう変わつてかかるか、又、培養方法の違いは、基質除去過程を表わすモデルにどのような影響を与えるのかについて基礎的な検討を行つたものである。

2. 実験方法 《培養方法》活性汚泥は最初に回分法で培養し、ひきつづきこれを連続法に切り換えて培養を續り、更に再度、回分法によつて培養した。培養条件を表-1に示す。培養は回分法・連続法とともに、容積負荷・SRT が等しくなるようにコントロールした。基質は人

工下水を用い、その組成と、リン酸緩衝液の組成を表-2に示す。

《回分実験法》上記の方法で培養した汚泥を用いて、汚泥の性状の変化と、淨化特性を知る目的で、適時回分実験を行つた。回分実験に用いた曝気槽は、容積3lのものである。基質はグリコースと、塩化アンモニウムと表-2の割合で混合したものと使用した。測定項目と方法を表-3に示す。

3. 実験結果および考察 培養槽内の MLSS 濃度は、最初の回分培養時に2,000 mg/lほどであるが、連続法に切り換えてからは、徐々に1,000 mg/l程度まで減少し、再び回分法になると増加した。連続培養中の SRT は、回分培養時に比べて大きく、フロックは小型化して、30分毎後も、上澄液はかなり濁っていた。培養期間中ににおける培養汚泥の性状の変化を知るために、汚泥中炭素含有率(C)と、汚泥中窒素含有率(N)との比 (S/N比) と、汚泥中炭水化合物濃度(S)と汚泥中窒素濃度(M)との比 (S/M) の変化を図-1に示す。(横軸は回分培養から連続培養へ切り換えた日と標準として、培養日数 0 日とした。連続培養は培養日数1~11日の間に行われ、12日より再び回分培養に切り換えた。) S/N比、(S/M)ともに回分培養時に大きな値を示し、連続培養が進むにつれて漸減していく傾向にある。次に淨化特性を知るために、回分実験結果の一例を図-2(回分培養汚泥)、図-3(連続培養汚泥)に示す。

回分培養と連続培養汚泥との間には、基質の除去速度、蓄積量、代謝速度など差があることが報告されてゐる。本実験での結果では、単位汚泥量あたりの炭水化合物の平均的な除去速度は、培養方式が異なるても明確な相違を示さず、3(～4)(～5)日前後の値を示した。しかしながら混合液中炭水化合物の除去速度を表すと回分速度と除去速度との比は、連続培養汚泥の場合 0.61~0.88 であるに対し、回分培養汚泥では 0.29~0.54 と小さな値を示す。

表-1 培養条件

回分法	1日1回基質を投入する fill and draw法 上澄入換 1/2	SRT 4日 容積負荷 グルコース 1000 mg/(L・日)
	連続法	HRT = 2.5 h 返送率 20%
		V = 1.15 L 温度 25°C

表-2 人工下水・リン酸緩衝液組成

人工下水組成	
$C_6H_{12}O_6$	200.0 g/l
NH <sub>4</sub> Cl	30.8 g/l
NaCl	20.0 g/l
MgSO <sub>4</sub>	6.8 g/l
CaCl <sub>2</sub>	10.0 g/l

リン酸緩衝液組成	
K <sub>2</sub> HPO <sub>4</sub>	50.0 g/l
K <sub>2</sub> HPO <sub>4</sub>	200.0 g/l

表-3 測定項目と方法

試料	項目	方 法
ろ液	炭水化合物	アンスロン法 (グルコース基準)
混合液	MLSS	ガラスファイバーロ紙法 (TOYO GA 100)
	炭水化合物	アンスロン法 (グルコース基準)
汚泥	C(炭素) N(窒素)	柳本CNコーダー (HT-500)

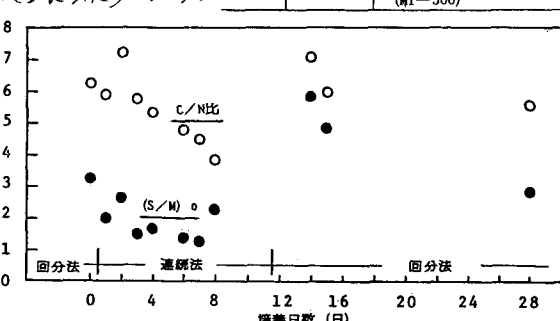


図-1 培養期間中の C/N比、(S/M) の変化

これは既往の文献と同じ傾向を示した<sup>1)</sup>。炭水化物の蓄積量の大きさを知るために最大蓄積量 $[(S/M)_{max} - (S/M)]$ の変化を図-4に示した。回分培養汚泥は4.5以上の値を示すが、連続培養汚泥は、培養日数が増加するに従い減少し、培養日数6日以降は、2以下となる傾向である。著者らは、基質の除去過程と次式でモデル化した<sup>2)</sup>。式中の定数 $k_1, k_2$ は与えた培養方式の影響について考察を加えた。この式は、単位汚泥量当たりの有機物除去速度と活性汚泥微生物細胞内の貯蔵蓄積物質(ここで汚泥中炭水化物として表現する)の不飽和量 $(S/M)_{max} - (S/M)$ の一次関数として表したものであり、これに $L/(k_1 + L)$ を乗じた形となる。本研究では活性量(H)の実験として、汚泥中窒素量を用いている。

$$-\frac{1}{M} \frac{dL}{dt} = [k_1 + k_2] \left[ \frac{(S/M)_{max} - (S/M)}{M} \right] \left( \frac{L}{k_1 + L} \right)$$

H: 活性汚泥微生物濃度 L: 溶液中有機物濃度

S: 汚泥中炭水化物濃度  $k_1, k_2, k_L$ : 定数

このモデル式によると、基質濃度が比較的小さい場合 $\{L/(k_1 + L)\} = 1$ となる。そこでLが発生大きい範囲の測定値を用いて $\{-1/H(dL/dt)\}$ と $\{(S/M)_{max} - (S/M)\}$ と最小二乗法を適用し、 $k_1, k_2$ と傾き $k_L$ を求めた。求めたの一例を図-5に示す。図-6はこのように求めた $k_1, k_2$ を変化を示したものである。ばらつきはあるものの、連続培養汚泥では $k_1$ が大きく、 $k_2$ が小さな値を示す傾向にあることがわかる。先に述べたようだ、連続培養汚泥の場合には $(S/M)_{max} - (S/M)$ の値が小さく、そのうえ $k_2$ も小さいことから、除去速度は汚泥中蓄積物質に対する直接関係しない定数 $k_1$ が、主に支配するものと考えられる。

4. まとめに 以上の考察により培養方式の違いによる汚泥性状の変化と、基質除去モデルの定数値に与えた影響について知ることができた。しかしながら、SRT、汚泥負荷などが本実験と異なる条件下で培養された場合に、どのような効果を示すかは今後の課題である。更に、各培養条件に則致する過程についても検討するこことが必要である。

参考文献 1) 益永 俊: 活性汚泥の培養方式と汚泥中蓄積物質の運動, 第16回衛生工学研究討論会

2) 江成 他: 活性汚泥の浄化機構に関する考察(第Ⅱ報), 工業用水, 1984, 9

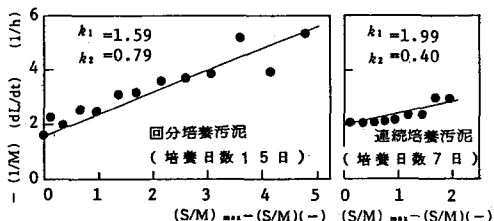


図-5  $k_1, k_2$  の決定

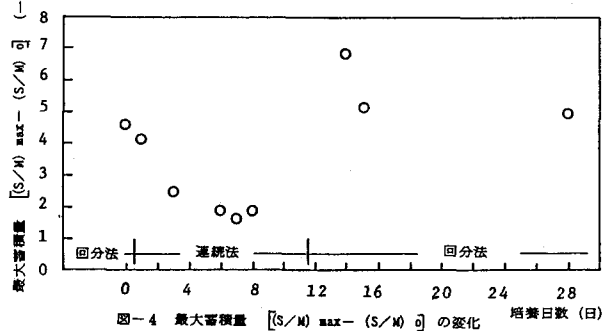


図-4 最大蓄積量  $[(S/M)_{max} - (S/M)]$  の変化

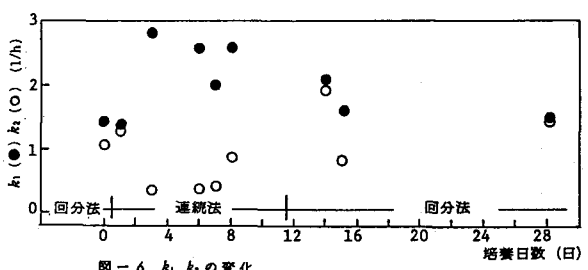


図-6  $k_1, k_2$  の変化